

ستنتز ۳- آمینوآلکیل ایندول‌ها با استفاده از نانو ذرات مغناطیسی اکسید آهن و بررسی

فعالیت آنتی باکتریال آنها

سیده کبیری عظیمی*

باشگاه پژوهشگران جوان و نخبگان، واحد رشت، دانشگاه آزاد اسلامی، رشت، ایران

تاریخ پذیرش: ۹۳/۰۲/۳۱

تاریخ تصحیح: ۹۳/۰۲/۱۴

تاریخ دریافت: ۹۲/۱۲/۱۴

چکیده:

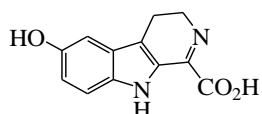
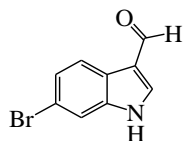
ایندول‌ها یکی از مهمترین ترکیبات هتروسیکل هستند که به عنوان هسته اصلی در بسیاری از ترکیبات طبیعی و دارویی یافت می‌شوند. علی‌رغم اینکه تاکنون روش‌های متنوعی برای تهیه ایندول‌ها توسعه یافته، هنوز هم سنتز مشتقات ایندول با جانشین‌های مختلف، از ترکیبات دردسترس مورد توجه بوده است. در این پژوهش سنتز یک ظرفی مشتقات ۳-آمینوآلکیل ایندول در حضور نانو ذرات مغناطیسی اکسید آهن در شرایط بدون حلال مورد بررسی قرار گرفت. از مزایای این روش می‌توان به زمان کوتاه واکنش، سهولت جداسازی، بهره بالای محصولات و شرایط ملایم واکنش اشاره نمود. فعالیت آنتی باکتریال محصولات تهیه شده نیز مورد ارزیابی قرار گرفت.

واژگان کلیدی: ۳-آمینوآلکیل ایندول‌ها، شرایط بدون حلال، فعالیت آنتی باکتریال، نانو ذرات اکسید آهن

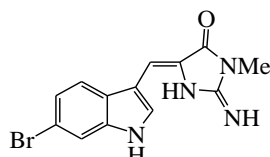
۱- مقدمه:

نانو تکنولوژی به دلیل خصوصیات فیزیکی و شیمیابی مواد نانوساختار، یکی از مهمترین موضوعات تحقیقی در طی سال‌های اخیر است. نانو ذرات مغناطیسی دسته بسیار ارزشمندی از مواد نانوساختار هستند که در پزشکی و صنعت کاربرد زیادی دارند. در میان نانو ذرات مغناطیسی گوناگون نانو ذرات مغناطیسی اکسید آهن (Fe_3O_4) به جهت سهولت جداسازی از مخلوط واکنش، به طور وسیعی مورد مطالعه قرار گرفته‌اند [۱]. یکی از مهمترین چالش‌های شیمیدانان مقرن به صرفه بودن روش‌ای جداسازی و خالص‌سازی محصولات واکنش می‌باشد. در استفاده از نانو ذرات مغناطیسی چون از آهنربای مغناطیسی برای جداسازی استفاده می‌شود، نسبت به کاتالیزگرهای دیگر روش مناسب‌تر و با بهره بیشتر می‌باشد [۲]. نانو ذرات مغناطیسی به دلیل داشتن ابعاد کوچک، سطح تماس زیادی دارند که در نتیجه فعالیت سطحی آنها افزایش می‌یابد. نانو ذرات مغناطیسی آهن نیز، به دلیل ساختار و اندازه کوچکشان، از ویژگی‌های مکانیکی، کاتالیتیکی و شیمیابی منحصر به فردی برخوردارند [۳-۵]. در طی سالیان اخیر، استفاده از نانو ذرات مغناطیسی اکسید آهن به عنوان کاتالیزگر در انجام واکنش‌های شیمیابی، بسیار مورد توجه قرار گرفته است [۶, ۷] به عنوان مثال در تهیه مشتقات زانتن، دی‌هیدرو پیریمیدین‌ها، ایمیدازول‌ها، اکسیم و تراکم آلدهید، آلکیل و آمین، از نانو ذرات اکسید آهن استفاده شده است [۸-۱۲].

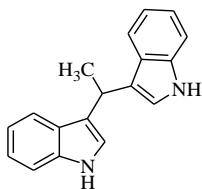
ایندول هسته اصلی دسته‌ی بزرگی از ترکیبات هتروسیکل بوده و دارای خواص زیستی گوناگون و کاربردهای دارویی فراوان است. هسته ایندول در بسیاری از آلکالوئیدهای مهم یافت می‌شود و قابل استخراج از گیاهان و منابع طبیعی متنوعی است. چند نمونه از آلکالوئیدهای ایندول که از جلبک قرمزهای استخراج شده‌اند، در شمای (۱) نشان داده شده است [۱۳].

1- carboxy-6- hydroxy- 3,4- dihydro-*B*- carboline

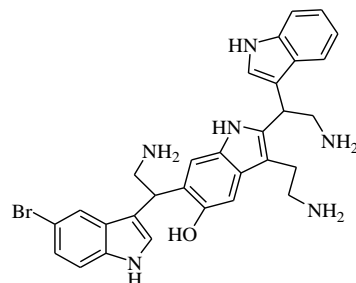
6- bromoindole-3-carbaldehyde



6- bromo-2- demethylaplysinopsin



Vibrindole A II



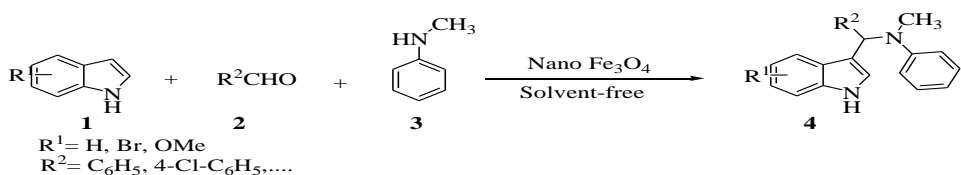
Gelliusines A and B I

شکل ۱. چند نمونه از آلکالوئیدهای ایندول استخراج شده از جلبک‌های قرمز.

فعالیت‌های زیست شناختی متنوعی برای این ترکیبات مانند فعالیت‌های ضدپیروس، ضدایدز، ضدالتهاب و ضدسرطان گزارش شده است [۱۴-۱۹]. به دلیل کاربردهای فراوان و خواص متنوع این ترکیبات، سنترز و بررسی خواص دارویی آنها از اهمیت بالایی برخوردار است. از بین مشتق‌ات ایندول، ۳-آمینوآلکیل ایندول‌ها به دلیل خواص دارویی متنوعی که دارند دارای اهمیت ویژه‌ای بوده و قابل استخراج از گیاهان یا باکتری‌های مختلف هستند.

تراکم سه‌جنبی ایندول با آلدهیدها و *N*-متیلآنیلین‌ها از مهمترین روش‌های سنترز ۳-آمینوآلکیل ایندول‌ها است که در حضور کاتالیزگرهای مختلف انجام می‌پذیرد. کاتالیست‌هایی مانند ۳-کلروفنیلبورونیک اسید [۲۰]، فسفومولیبدیک اسید نهشت شده روی سطح سیلیکاژل [۲۱]، یوتربیوم تریفلات نهشت شده روی سطح سیلیکاژل [۲۲]، مایعات یونی بر پایه ایمیدازول [۲۳]، و برومومتیل‌سولفونیوم برمید (BDMS) [۲۴]، واکنشگرهای مفیدی هستند که برای سنترز این ترکیبات مورد استفاده قرار گرفته‌اند. از واکنش ایندول با آلدهیدهای آромاتیک در حلول دی‌متیل‌فرمamید و در حضور کاتالیزگر سزیم‌کربنات ترکیبات ۳-(α -هیدروکسی) ایندول تهیه شدند [۲۵]. افزایش مایکل ایندول به کتون‌های α , β -غیر اشباع در حضور سریم-

تری کلرید هفت آبه و سدیمیدید نهشت شده روی سطح سیلیکاژل ۳-(۳-اکسو-آلکیل) ایندول‌ها را نتیجه می‌دهد [۲۶]. استفاده از کاتالیزگرهای گران قیمت، جداسازی محصولات با روش‌های وقتگیر، بازده کم، تولید محصولات جانبی و زمان واکنش طولانی از جمله معایب روش‌های سنتزی ارایه شده می‌باشند. در این پژوهش به منظور کاهش زمان واکنش، دستیابی به بهره مناسب و حذف حلال مضر آلی، سنتز یک ظرفی مشتقات ۳-آمینوآلکیل ایندول‌ها برای اولین بار در حضور نانو ذرات مغناطیسی اکسید آهن و شرایط بدون حلال مورد بررسی قرار گرفت شمای (۲).



شکل ۲. سنتز یک ظرفی مشتقات ۳-آمینوآلکیل ایندول‌ها در حضور نانو ذرات اکسید آهن

۲- بخش تجربی:

۲-۱- مواد شیمیایی و حللاه:

مواد شیمیایی به کار گرفته شده در این تحقیق از شرکت‌های مرک آلمان و فلوکای سوئیس تهیه و بدون نیاز به خالص- سازی بیشتر مورد استفاده قرار گرفتند. برخی از حللاه از شرکت مرک آلمان و بعضی دیگر از شرکت داخلی دکتر مجللی تهیه شدند.

۲-۲- دستگاهها:

پیشرفت واکنش‌ها به وسیله کروماتوگرافی لایه نازک (TLC) و با استفاده از صفحات آلومینیومی پوشیده شده از سیلیکاژل ۶۰ شرکت مرک و همچنین لامپ فرابنفش کنترل گردید. دمای ذوب ترکیبات سنتز شده به وسیله دستگاه الکتروترمال اندازه گیری شد. طیف‌های فروسرخ (IR) با دستگاه اسپکترومتر شیمادزو مدل ۴۷۰ با ساختن قرص KBr گرفته شده است. طیف‌های ^1H NMR و ^{13}C NMR به وسیله دستگاه Bruker DRX-۴۰۰ AVANCE به ترتیب ۴۰۰/۱۳ و ۱۰۰/۶ مگاهرتز ثبت گردیدند و جایه‌جایی شیمیایی نسبت به استاندارد داخلی تترا متیل سیلان (TMS) اندازه گیری شده است.

۲-۳- روش تهیه نانو ذرات مغناطیسی اکسید آهن:

در یک بالون سه دهانه ۲۰ میلی‌مول $\text{FeCl}_3 \cdot 6\text{H}_2\text{O}$ و ۱۰ میلی‌مول $\text{FeCl}_2 \cdot 6\text{H}_2\text{O}$ در ۷۵ میلی‌لیتر آب یون زدایی شده تحت شرایط آرگون به مدت یک ساعت قرار داده شد. سپس ۱۰ میلی‌لیتر محلول ۱۰ مولار NaOH به مدت ۳۰ دقیقه قطره قطره به آن اضافه شد و به مدت یک ساعت در شرایط آرگون هم زده شد. بعد آن به مدت یک ساعت در دمای 85°C قرار داده شد. بعد از تمام شدن زمان واکنش نانو ذرات مغناطیسی اکسید آهن چند بار با آب یون زدایی شده و اتانول شست و شو داده شد. در انتهای برای خشک شدن در آون با دمای 60°C به مدت سه ساعت قرار داده شد [۲۷].

۲-۴- طیف فروسرخ نانو ذره اکسید آهن:

IR (KBr): 3416, 1626, 582 cm^{-1} .

۲-۴- روش تهیه مشتقات ۳- آمینوآلکیل ایندول:

۱ میلی‌مول بنزاکلید، ۲ میلی‌مول N -متیل‌آنیلین و ۵ نانو ذره اکسید آهن در یک بالن ریخته شد و در دمای محیط برای مدت ۱ ساعت همزده شد. سپس به محصول به دست آمده در این مرحله ۱ میلی‌مول ایندول اضافه شد و در دمای محیط برای مدت ۱ ساعت دیگر همزده شد. پس از تکمیل واکنش ابتدا ۱۵ میلی‌لیتر حلal دی‌اکتیل اتر به مخلوط واکنش اضافه شده و کاتالیزگر نانو ذره اکسید آهن بوسیله آهنربای مغناطیسی جadasازی شد. سپس مخلوط واکنش حلal پرانی شد و رسوب فراورده ۴a چندین بار با آب و اتانول شست و شو داده شد. به این ترتیب فراورده ۴a به صورت جامد قهوه ای رنگ با بازده ۹۷٪ و دمای $144-146^\circ\text{C}$ تهیه گردید.

۲-۴-۱- سنتز N -(۱-ایندول-۳-ایل)(فنیل)متیل- N -متیلبنزن آمین (۴a) :

جدول ۳. ردیف ۱

IR (KBr): 3335, 3286, 3126, 3043, 1687, 1637, 1529 cm^{-1} .

δ_{H} (400.13 MHz, DMSO-d₆): 10.05 (s, 1H), 7.66 (s, 1H), 7.35 (d, $J = 7.9$ Hz, 1H), 7.24- 7.23 (m, 4H), 7.15-7.13 (m, 2H), 7.07-6.84 (m, 3H), 6.62 (d, $J = 2.1$ Hz, 3H), 5.51 (s, 1H), 2.81 (s, 3H) ppm.

δ_{C} (100.6 MHz, DMSO-d₆): 146.8, 143.7, 132.3, 129.1, 128.6, 128.5, 127.3, 126.1, 123.4, 121.5, 120.5, 121.0, 118.1, 112.1, 111.4, 47.8, 31.2 ppm.

۲-۴-۲- سنتز N -(۱-ایندول-۳-ایل)-کلروفنیل(متیل)- N -متیلبنزن آمین (۴f) :

جدول ۳. ردیف ۶

IR (KBr): 3362, 3295, 3137, 3051, 1692, 1644, 1534 cm^{-1} .

δ_{H} (400.13 MHz, CDCl₃): 8.12-8.06 (m, 3H), 7.60 (d, $J = 8.0$ Hz, 1H), 7.45-7.40 (m, 2H), 7.21 (d, $J = 7.9$ Hz, 2H), 7.04-7.03 (m, 3H), 6.66-6.57 (m, 3H), 5.68 (s, 1H), 2.84 (s, 3H) ppm.

δ_{C} (100.6 MHz, CDCl₃): 149.2, 146.8, 146.6, 135.7, 135.0, 130.8, 130.1, 128.6, 125.4, 122.6, 122.3, 122.3, 121.4, 120.1, 119.4, 119.2, 111.4, 111.2, 111.2, 46.4, 31.4 ppm.

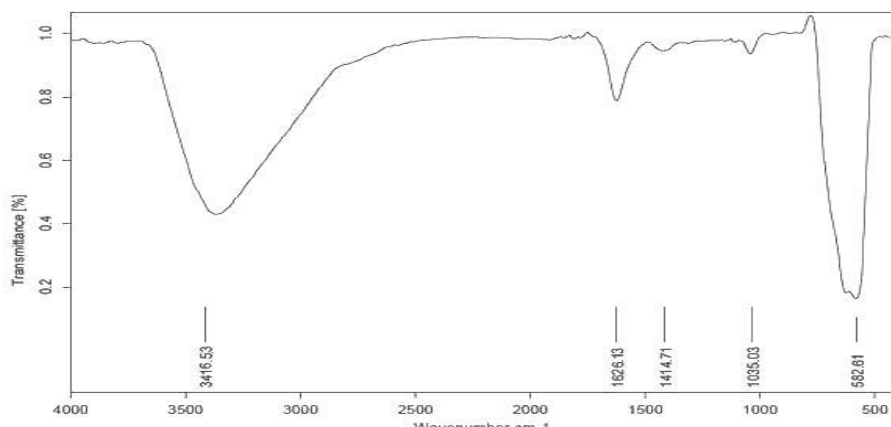
۳- نتایج و بحث:

در ابتدا به منظور به دست آوردن شرایط مناسب برای تهیه ۳-آمینوآلکیل ایندول‌ها، واکنش ایندول ۱، N-متیل‌آنیلین ۳ و بنزآلدهید ۲a در شرایط مختلف مورد بررسی قرار گرفت. این واکنش در حللاهای گوناگونی مانند اتانول، متانول، تتراهیدروفوران، استو نیتریل و دی‌متیل‌فرمamید و شرایط بدون حللا نیز انجام شد. همانطور که در جدول (۱) نشان داده شده است در شرایط بدون حللا نتیجه بهتری بدست آمد. با استفاده از ۵ نانو ذره اکسید آهن در شرایط عاری از حللا محصول با بهره ۹۷٪ تهیه شد (ردیف ۷). لازم به ذکر است نانو ذره اکسید آهن مطابق با روش های ارایه شده قبلی تهیه شد [۲۷]. طیف فروسرخ نانو ذره اکسید آهن در شمای ۳ نشان داده شده است.

جدول ۱. مقایسه شرایط مختلف واکنش در سنتز فراورده ۴a

ردیف	شرایط واکنش ^۱	زمان واکنش	بازده٪
۱	اتanol	۵ h	۶۲
۲	متانول	۵ h	۶۰
۳	تتراهیدرو فوران	۷ h	۵۴
۴	استو نیتریل	۶ h	۵۷
۵	دی‌متیل‌فرمamید	۸ h	۴۶
۶	آب	۴ h	۶۸
۷	-	۲ h	۹۷

^۱ واکنش ایندول ۱ (۱ میلی‌مول) و N-متیل‌آنیلین ۳ (۲ میلی‌مول) و بنزآلدهید ۲a (۱ میلی‌مول) با استفاده از ۵ نانو ذره اکسید آهن در دمای محیط



شکل ۳. طیف فروسرخ نانو ذره اکسید آهن

جدول ۲. مقایسه روش‌های مختلف در سنتر فراورده ۴a

ردیف	شرایط واکنش ^۱	زمان واکنش	% بازده	مرجع
۱	(BDMS) mol% / اتانول (۰.۱) /	۲،۳۰ h	۹۶	۲۴
۱	(BDMS) mol% / استو نیتریل (۰.۱) /	۴ h	۹۰	۲۴
۳	(PMA-SiO ₂) mol% / استو نیتریل (۰.۵) /	۲،۳۰ h	۸۰	۲۱
۴	(PMA-SiO ₂) mol% / بدون حلال (۰.۵) /	۱،۴۵ h	۹۰	۲۱
۵	(Yb(OTf) ₃ -SiO ₂) mol% / استو نیتریل (۰.۵) /	۲ h	۷۸	۲۲
۶	۳-کلروفنیلبورونیک اسید / استو نیتریل / بدون حلال	۱۴ h	۸۰	۲۰
۷	نانو ذره اکسید آهن (۰.۵) mol% / بدون حلال	۲ h	۹۷	-

^۱ واکنش ایندول (۱ میلی‌مول) و N-متیل‌آنیلین (۲ میلی‌مول) و بنزاکلهید (۰.۱ میلی‌مول) در دمای محیط

در گام بعدی مقدار کاتالیزگر بهینه سازی شد. واکنش مبنا در حضور مقادیر ۱، ۳، ۵، ۷ مول درصد از نانوکاتالیزگر در شرایط بدون حلال انجام شد جدول (۲). بهترین بازده در حضور ۵ mol% از نانو کاتالیزگر اکسید آهن در دمای اتاق و شرایط بدون حلال به دست آمد، (ردیف ۳). در غیاب کاتالیزگر نیز محصولی مشاهده نشد، (ردیف ۵).

جدول ۳. مقایسه مقدار کاتالیزگر در سنتر فراورده ۴a

ردیف	مقدار کاتالیزگر mol%	زمان واکنش	% بازده
۱	۱	۵ h	۶۵
۲	۳	۲،۳۰ h	۷۵
۳	۵	۲ h	۹۷
۴	۷	۱،۴۵ h	۹۷
۵	-	۱۲ h	-

^۱ واکنش ایندول (۱ میلی‌مول) و N-متیل‌آنیلین (۲ میلی‌مول) و بنزاکلهید (۰.۱ میلی‌مول) با استفاده از نانو ذره اکسید آهن در دمای محیط

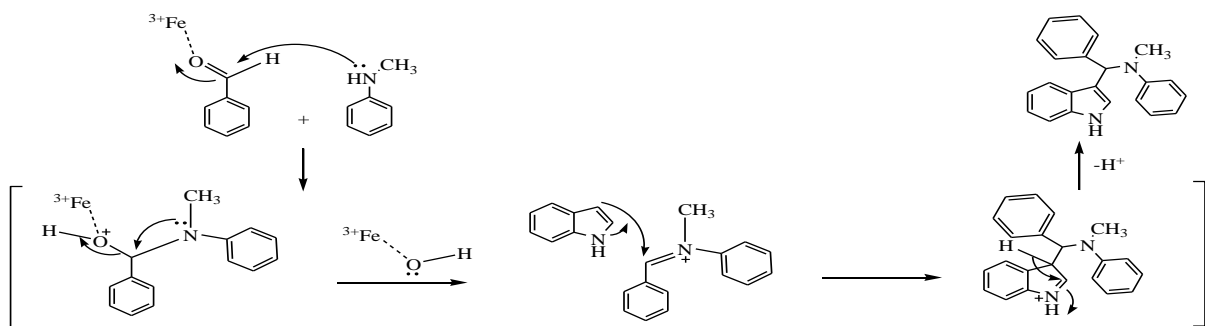
در ادامه کار به منظور بررسی مزایا و محدودیتهای روش، آلدهیدهای آروماتیک با گروههای الکترون‌کشندۀ و الکترون‌دهنده و مشتق ۵-بروموایندول و ایندول در شرایط بهینه مورد بررسی قرار گرفته و مشتقان متنوعی از ۳-آمینوآلکیل ایندول‌ها (۴a-j) در مدت زمان ۲-۳،۳۰ ساعت با بهره مناسب ۸۲-۹۷٪ به دست آمدند. نتایج در جدول (۳) نشان داده شده است.

جدول ۴. تهیه مشتقان ۳-آمینوآلکیل ایندول‌ها با استفاده از نانو ذره مغناطیسی اکسید آهن

ردیف	R ¹	R ²	محصول	زمان واکنش	نقطه ذوب محسول °C [مرجع]	بازده %
۱	H	C ₆ H ₅	۴a	۲ h	[۲۱] ۱۴۴-۱۴۶	۹۷
۲	H	4-Cl-C ₆ H ₄	۴b	۲،۳۰ h	[۲۰] ۱۸۱-۱۸۳	۹۰
۳	H	4-H ₃ C-C ₆ H ₄	۴c	۲،۳۰ h	[۲۰] ۱۳۵-۱۳۷	۸۹
۴	H	3-NO ₂ -C ₆ H ₄	۴d	۳ h	[۲۰] ۱۸۹-۱۹۱	۹۱
۵	5-OMe	4-Cl-C ₆ H ₄	۴e	۲ h	[۲۱] ۱۲۹-۱۳۰	۹۲
۶	H	3-Cl-C ₆ H ₄	۴f	۲،۳۰ h	۱۶۵-۱۶۷	۹۱
۷	H	4-HO-C ₆ H ₄	۴g	۳ h	[۲۰] ۱۳۸-۱۴۰	۸۸
۸	H	4-H ₃ CO-C ₆ H ₄	۴h	۳ h	[۲۰] ۱۷۵-۱۷۷	۹۰

۸۲	[۲۰] ۲۱۰-۲۱۲	۲،۳۰ h	۴i	C ₆ H ₅	5-Br	۹
۸۹	[۲۰] ۱۹۵-۱۹۷	۲،۳۰ h	۴j	4-H ₃ C-C ₆ H ₄	5-Br	۱۰

مکانسیم پیشنهادی سنتز یک ظرفی مشتقات ۳-آمینوآلکیلایندول در حضور نانو ذرات اکسید آهن در شمای ۴ نشان داده شده است.



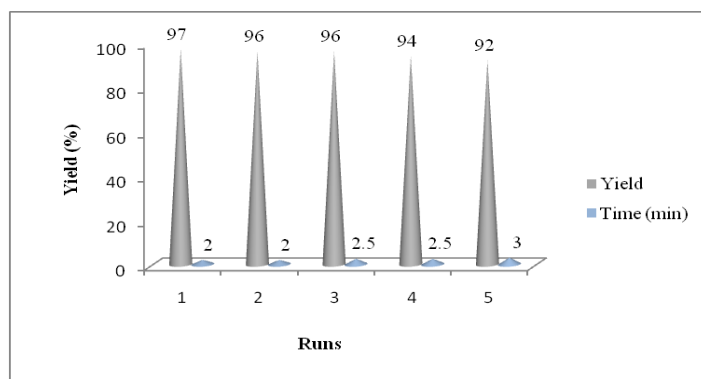
شکل ۴. مکانسیم پیشنهادی سنتز یک ظرفی مشتقات ۳-آمینوآلکیلایندول در حضور نانو ذرات اکسید آهن.

با توجه به اهمیت فعالیت بیولوژیکی و فارماکولوژیکی مشتقات ۳-آمینوآلکیلایندول‌ها در صنایع دارویی و کاربرد آنها در داروهای ضدحساسیت، ضدبacterی، ضدتومور و ضدقارچ، در ادامه فعالیت ضدبacterی این ترکیبات مورد توجه قرارگرفت و از میکروگانیسم‌هایی مانند اشريشیاکولای ATCC 25922 و سودوموناس اورئا ATCC 85327 (بacterی‌های گرم منفی) و باسیلوس استabilیس ATCC465 و استافیلواورئوس (بacterی‌های گرم مثبت) استفاده شد. حداقل غلظت بازداری (MICs) برای ترکیبات (۴a-j) از طریق روش رقیقسازی در مقیاس کم مورد بررسی قرار گرفت. همانطورکه در جدول (۴) نشان داده شده است، بیشتر ترکیبات سنتز شده فعالیت ضدبacterی خوبی از خود نشان داده‌اند.

جدول ۵. حداقل غلظت بازداری (MICs) برای مشتقات ۳-آمینوآلکیلایندول‌ها

ردیف	سودوموناس اورئا	باسیلوس استabilیس	استافیلواورئوس	اشريشیاکولای	محصول
۱	۶۴	۱۲۸	۱۲۸	۱۲۸	4a
۲	۱۲۸	۱۲۸	۶۴	۱۲۸	4b
۳	۶۴	۱۲۸	۳۲	۱۲۸	4c
۴	۶۴	۱۲۸	۱۲۸	۱۲۸	4d
۵	۶۴	۱۲۸	۱۲۸	۳۲	4e
۶	۱۲۸	۱۲۸	۳۲	۶۴	4f
۷	۶۴	۱۲۸	۱۲۸	۱۲۸	4g
۸	۶۴	۱۲۸	۱۲۸	۱۲۸	4h
۹	۳۲	۱۲۸	۱۲۸	۱۲۸	4i
۱۰	۳۲	۱۲۸	۶۴	۱۲۸	4j
۱۱	۳۲	۱۶	۱۶	۱۶	Chloramphenicol

کارایی نانوکاتالیزگر مغناطیسی اکسیدآهن پس از پنج بار بازیافت در واکنش مبنای واکنش ایندول ۱ و *N*-متیل آنیلین ۳ و بنزآلدهید ۲a مورد بررسی قرار گرفت. به گونه‌ای که در شماری ۳ نشان داده شده، تغییر ناچیز بازده واکنش نشانگر کارایی نانو ذره بازیافتی و مبین مقرون به صرفه بودن روش حاضر است.



شکل ۴. دوره‌های پیاپی واکنش ایندول ۱ و *N*-متیل آنیلین ۳ و بنزآلدهید ۲a با استفاده از ۵ نانو ذره اکسید آهن

۴- نتیجه‌گیری:

در این پژوهش برای اولین بار مشتقات ۳-آمینوآلکیل ایندول از واکنش ایندول، *N*-متیل آنیلین و آلدهیدها با استفاده از ۵ نانو ذره اکسید آهن در شرایط عاری از حلal تهیه شدند. از مزایای این روش می‌توان به زمان کوتاه واکنش، سهولت جداسازی و بهره بالای محصولات اشاره نمود. تقریباً تمامی ترکیبات ۳-آمینوآلکیل ایندول سنتر شده فعالیت ضدباکتری خوبی از خود نشان داده‌اند.

۵- تقدیر و تشکر:

نویسنده مقاله از حمایت‌های مالی معاونت پژوهش و فناوری دانشگاه آزاد اسلامی واحد رشت تشکر و قدردانی می‌نماید.

۶- مراجع:

- [1] Z. Bing, H. Scott, R. Raja and G. A. Somorjai, *Nanotechnology in Catalysis*, Springer, Ottawa, (2007) 3.
- [2] A. H. Lu, E. L. Salabas, and F. Schuth, *Angew. Chem. Int. Ed.* **46** (2007) 1222.
- [3] A. H. Latham and M. E. Williams, *Acc. Chem. Res.* **41** (2008) 411.
- [4] L. M. Rossi, F. P. Silva, L. L. R. Vono, P. K. Kiyohara, E. L. Duarte, R. Itri, R. Landers and G. Machado, *Green Chem.* **9** (2007) 379.
- [5] C. T. Yavuz, J. T. Mayo, W. W. Yu, A. Prakash, J. C. Falkner, S. Yean, L. Cong, H. J. Shipley, A. Kan, M. Tomson, D. Natelson and V. L. Colvin, *Science* **314** (2006) 964.
- [6] P. D. Stevens, J. Fan, H. M. R. Gardimalla, M. Yen and Y. Gao, *Org. Lett.* **7** (2005) 2085.
- [7] V. Polshettiwar and R. S. Varma, *Tetrahedron* **66** (2010) 1091.
- [8] M. A. Ghasemzadeh, J. Safaei-Ghom and S. Zahedi, *J. Serb. Chem. Soc.* **78** (2013) 769.
- [9] M. Naser-Esfahani, S. J. Hoseini, and F. Mohammadi, *Chin. J. Catal.* **32** (2011) 1484.
- [10] J. Safari and Z. Zarnegar, *Iran. J. Catal.* **2** (2012) 121.
- [11] B. Zeynizadeh and M. Karimkoshbeh, *J. Nanostructure Chem.* **3** (2013) 1.
- [12] T. Zeng, W. Chen, C. M. Cirtiu, A. Moores, G. Song and C. Li, *Green Chem.* **12** (2010) 570.
- [13] M. J. Mackay, A. R. Carroll, R. J. Quinn and J. N. A. Hooper, *J. Nat. Prod.* **65** (2002) 595.

-
- [14] J. M. Frost, M. J. Dart, K. R. Tietje, T. R. Garrison, G. K. Grayson, A. V. Daza, O. F. El-Kouhen, L. N. Miller, L. Li, B. B. Yao, G. C. Hsieh, M. Pai, C. Z. Zhu, P. Chandran and M. D. Meyer, *J. Med. Chem.* **51** (2008) 1904.
 - [15] W. S. Phutdhawong, W. Ruensamaran, W. Phutdhawong and T. Tachowisan, *Bioorg. Med. Chem. Lett.* **19** (2009) 5753.
 - [16] T. Luong and Targeting RSK: An Overview of Small Molecule Inhibitors, *Anti-Cancer Agents in Medicinal Chemistry*, **8** (2008) 710.
 - [17] C. Sahlberg and X. X. Zhou, *Anti-Infect. Agents Med. Chem.* **7** (2008) 101.
 - [18] S. Harper, S. Avolio, B. Pacini, M. Di Filippo, S. Altamura, L. Tomei, G. Paonessa, S. Di Marco, A. Carfi, C. Giuliano, J. Pardon, F. Bonell, G. Migliaccio, R. De Francesco, R. Laufer, M. Rowley and F. Narjes, *J. Med. Chem.* **48** (2005) 4547.
 - [19] S. Safe, S. Papineni and S. Chinthalalapalli, *Cancer Letter*, **269** (2008) 326.
 - [20] S. V. Goswami, P. B. Thorat, V. N. Kadam, S. A. Khiste and S. R. Bhusare, *Chin. Chem. Lett.* **24** (2013) 422.
 - [21] P. Srihari, V. K. Singh, D. C. Bhunia, J. S. Yadav, *Tetrahedron Lett.* **50** (2009) 3763.
 - [22] V. Kameshwara Rao, M. Sudershan Rao, N. Jain, J. Panwar and A. Kumar, *Bioorg. Med. Chem. Lett.* **21** (2011) 3511.
 - [23] D. Kundu, A. Bagdi, K. Majee and A. Hajra, *Synlett* **8** (2011) 1165.
 - [24] D. K. Yadav, R. Patel, V. P. Srivastava, G. Watal and L. D. S. Yadav, *Tetrahedron Lett.* **51** (2010) 5701.
 - [25] R. Elayaraja and R. Joel Karunakaran, *Tetrahedron Lett.* **53** (2012) 6901.
 - [26] G. Bartoli, G. Foglia, M. Bartolacci, A. Giuliani, L. Sambri, M. Bosco, E. Marcantoni and E. Torregiani, *J. Org. Chem.* **68** (2003) 4594.
 - [27] D. Yang, J. Hu and S. Fu, *J. Phys. Chem.* **113** (2009) 7646

▽△